

کلونینگ و توالی‌یابی بخشی از ژن فسفولیپاز B₂ در آسپرژیلوس فومیگاتوسعبدالحسن کاظمی* (Ph.D)، جفری رابسون^۱ (Ph.D)، دیوید دیننگ^۲ (M.D, Ph.D)

۱- دانشگاه علوم پزشکی تبریز، دانشکده پزشکی، گروه انگل‌شناسی و ایمنی‌شناسی

۲- دانشگاه منچستر، دانشکده علوم حیات، گروه PME

چکیده

سابقه و هدف: کپک *Mold* پاتوژن آسپرژیلوس فومیگاتوس (*Aspergillus fumigatus*) به‌عنوان یک میکروارگانیسم عامل انواع عفونت‌های ریوی به‌ویژه در افراد دارای ضعف سیستم ایمنی و هم‌چنین آلرژی، آلوده کننده مواد غذایی، مولد میکوتوکسین (*Mycotoxin*) و در نتیجه عامل میکوتوکسیکوز (*Mycotoxicosis*) مورد توجه می‌باشد. قدرت تولید انواع فسفولیپازها و به‌ویژه فسفولیپاز (Phospholipase B, PLB) از عوامل کلیدی در ویرولانسی این قارچ بوده و کلونینگ و تعیین توالی ژن فسفولیپاز B₂ (Phospholipase B₂, PLB₂) جهت بررسی ویژگی‌های ژن سنتزکننده PLB₂ در این میکروارگانیسم و مقایسه خصوصیات ژن و فرآورده آن با ژن مشابه سایر میکروارگانیسم‌ها انجام گردید.

مواد و روش‌ها: DNA ژنومی آ. فومیگاتوس جدا شده از خلط یک بیمار مبتلا به آسپرژیلوزیس ریوی (*Pulmonary aspergillosis*)، استخراج و تلخیص شد و با استفاده از دژنراتیو PCR (*Degenerate PCR*)، یک قطعه اولیه از ژن *plb₂* به طول ۵۴۲ bp به دست آمد. سپس با استفاده از PCR برگشتی (*Inverse PCR, IPCR*)، قطعه طویل‌تری به طول ۱۱۷۵ bp به دست آمد. توالی نوکلئوتیدی قطعه ژن ثانوی، متعاقب استخراج از ژل، خالص‌سازی، پیوند به وکتور مناسب، ترانسفورماسیون و نهایتاً استخراج از سلول میزبان و تلخیص، تعیین و با تلفیق این توالی با توالی قطعه اولیه، سکوانسی به طول ۱۵۲۹ bp حاصل گردید.

یافته‌ها: آنالیز فرآورده PCR دژنراتیو اولیه و PCR برگشتی (*IPCR*) با بلاست X (*BLASTX*)، در سطح اسیدنوکلئیک، حداکثر ۶۲٪ هم‌سانی با توالی نوکلئوتیدی ژن لیزوفسفولیپاز ۱ (*LPL₁*) آسپرژیلوس اوریزه (*A. oryza*) و حداقل ۳۹٪ هم‌سانی با توالی نوکلئوتیدی ژن فسفولیپاز B (*PLB*) کریبتوکوکوس نشو فرمنس (*Cryptococcus neoformans*) را نشان داد.

نتیجه‌گیری: وجود ژن فسفولیپاز B₂ (*PLB₂*) در ژنوم آ. فومیگاتوس و مشابهت بسیار زیاد قطعه توالی‌یابی شده با ژن فسفولیپاز سایر میکروارگانیسم‌های دارای قرابت فیلوژنیک و یا فاقد قرابت فیلوژنیک با این قارچ نشان‌دهنده انتقال محافظه‌کارانه آن در مسیر تکاملی از ژنوم دودمانی و هم‌چنین نقش اساسی آن برای بیماری‌زایی میکروارگانیسم می‌باشد. توالی نوکلئوتیدی حاصله می‌تواند برای کلون نمودن و تعیین توالی ژن کامل *plb₂* و تعیین خصوصیات پروتئین (آنزیم) حاصل از ژن و در نهایت طراحی و سنتز واکسن و یا داروی مؤثر بر علیه میکروارگانیسم، مورد استفاده قرار گیرد.

واژه‌های کلیدی: آسپرژیلوس فومیگاتوس، ژن فسفولیپاز B₂، کلونینگ، توالی‌یابی

اینترلوکین‌ها و پروستاگلاندین‌ها و آراشیدونیک اسید، تنظیم متابولیسم سلول را به هم می‌زنند [۹،۱۹،۲۱،۲۹،۳۱]. تحقیقات گسترده‌ای در مورد ایفای نقش مؤثر به‌وسیله فسفولیپازها در ویروانس میکروارگانسیم‌هایی نظیر کریپتوکوکوس نئوفرمس (*C. neoformans*)، کاندیدا آلبیکاناس (*Candida albicans*) و سایر کاندیداها (*Candida SP*)، کلستریدیوم پرفرنژنس (*Clostridium perfringens*)، کلستریدیوم نویه (*C. novyi*) و کلستریدیوم سپتیکوم (*C. septicum*)، آتامبا هیستولیتیکا (*Entamoeba histolitica*)، سودوموناس آئروژینوزا (*Pseudomonase aeruginosa*)، جنس میکوباکتریوم (*Mycobacterium SP*)، باسیلیوس سرئوس (*Bacillus cereus*) و مالاسزیا فورفور (*Malassezia furfur*) [۱۲،۱۴،۱۵،۱۶،۱۸،۲۲،۲۳] نیز بر اهمیت این آنزیم‌ها صحنه گذاشته و همچنین استفاده از این آنزیم‌ها برای تهیه واکسن و یا شاخص‌های آزمایشگاهی تشخیص عفونت نیز مورد توجه واقع شده است [۱۹،۱۳،۳۲].

مواد و روش‌ها

DNA ژنومی آسپرژیلوس فومیگاتوس *A. fumigatus* از کلنی‌های حاصل از کشت خلط یک بیمار مبتلا به آسپرژیلوس ریوی مهاجم با استفاده از روش پایه ریدر و برود (Reader and Brode) [۲۹] با اندکی اصلاح، استخراج گردید. برای این منظور میسلیم‌های قارچی پس از آسیاب شدن در نیتروژن مایع، به مدت ۲۰ دقیقه در حرارت 65°C با حجم مساوی از بافر استخراج DNA، مخلوط شده و سپس با افزودن حجم مساوی از کلروفورم و ایزومیل الکل (نسبت ۱:۲۴) به مدت ۳۰ دقیقه در میان یخ قرار داده شد. مخلوط فوق به مدت ۳۰ دقیقه در $12000 \times g$ و در حرارت 4°C سانتریفوژ شده، لایه بالایی به لوله استریل جدید منتقل و با استفاده از حجم مساوی ایزوپروپانول و سانتریفوژ به مدت ده دقیقه در $4000 \times g$ DNA ژنومی رسوب داده شده و در نهایت با شستشو به‌وسیله اتانول ۷۰٪ و حل نمودن رسوب

کپک‌های جنس آسپرژیلوس و به‌ویژه آسپرژیلوس فومیگاتوس *A. fumigatus* عامل اتیلوزیک علائم بالینی وسیعی از عفونت‌های سطحی تا عمقی در نواحی آناتومیکی مختلف پیکر انسان و حیوان و به‌ویژه دستگاه تنفسی افراد دارای ضعف سیستم ایمنی بوده و همچنین از نظر آلودگی مواد غذایی، تولید میکوتوکسین‌ها و بروز میکوتوکسیکوز اولیه (*Primary mycotoxicosis*) و ثانویه (*Secondary mycotoxicosis*) نقش منفی در زندگی جامعه بشری و از نظر تجزیه مواد مختلف در طبیعت و برگرداندن مواد ساده اولیه به چرخه گردش عناصر در طبیعت، نقشی مثبت را ایفا می‌نمایند [۷،۱۷]. اهمیت کلینیکی آسپرژیلوس فومیگاتوس (*A. fumigatus*) با توجه به افزایش موارد بیماری ناشی از این قارچ به‌ویژه به‌صورت حالات بالینی مهاجم ریوی در افراد HIV^+ ، بیماران دارای ضعف سیستم ایمنی، مصرف‌کنندگان داروهای بیولوژیک، دریافت‌کنندگان عضو پیوندی و... و همچنین بروز مقاومت دارویی در این قارچ نسبت به داروهای ضدقارچی موجود، به شدت افزایش یافته است [۳،۴،۶]. یکی از عوامل اصلی در بیماری‌زایی این قارچ قدرت تولید و ترشح فسفولیپازهای گروه B می‌باشند [۱،۲]، که در ایجاد آسیب‌های بافتی و تخریب غشاء سیتوپلاسمی سلول‌های یوکاریوتی مورد تهاجم به شدت مؤثر می‌باشند؛ زیرا فسفولیپیدها در ساختمان غشاء سیتوپلاسمی سلول‌های حیوانی سهم عمده‌ای دارند [۱۱،۲۶،۲۸] که در این مورد به وجود رگه‌های خون در خلط افراد مبتلا به آسپرژیلوس ریوی مهاجم به علت تخریب بافتی اشاره می‌شود [۵]. ترکیبات و اجزای حاصل از تأثیر فسفولیپازهای گروه B بر روی غشاء سیتوپلاسمی و تخریب غشاء، به‌عنوان ماده غذایی مورد استفاده میکروارگانسیم مهاجم قرار گرفته و همچنین به‌عنوان واسطه‌های شیمیایی و پیامبران ثانوی درون سلولی تعادل فیزیولوژیک سلول و بافت مورد تهاجم را مختل نموده [۸،۲۵] و به‌عنوان نمونه با تولید و فعال نمودن پروتئین‌کیناز C (*Protein kinase C*).

غلظت DNA استاندارد (DNA شاخص، GIBCO BRL، 1kb)، ۲- غلظت‌سنجی DNA در محلول تهیه شده با استفاده از OD = ۲۶۰ = ۱ در اسپکتروفتومتر] انجام پذیرفت.

- کلونینگ و تعیین توالی اولیه. مقدار کافی (۵۰ul)

از فرآورده PCR در ژل الکتروفورز تهیه شده با بافر TAE آنالیز شده و بعد از برش باند مورد نظر از روی ژل، باند حاصله از ژل، استخراج و تلخیص گردید (QIA quick gel extraction kit). باند ۵۵۰ bp استخراج شده به وکتور pGEMT-Easy vector پیوند زده شده و سپس به سلول میزبان (*E. coli* Top 10 F') ترانسفورم گردید. غربال‌گری کلنی‌های آبی - سفید در محیط کشت LB حاوی ۵- برومو-۴- کلرو-۳- ایندول-بتا-دی-گالاکتوپیرانوزید (X-gal) و ایزوپروپیل-بتا-دی-تیوگالاکتوپیرانوزید (IPTG) انجام شده و پس از انتخاب ۱۲ کلنی حاوی وکتور ترانسفورم شده، کلنی‌های حاصله در محیط LB (Luria-Burtani) مایع، کشت داده شده و سپس با وکتور حاوی قطعه PCR از مجموعه باکتری‌های تک‌تک محیط‌های LB مایع با انجام لیز سلولی و مراحل بعدی آن جدا گردید. برش قطعه PCR از ناحیه Multi cloning site (MCS) وکتور با استفاده از اندونوکلاز محدودالاتر *EcoRI* انجام گرفته و پس از تأثیر دو ساعته آنزیم فوق در ۳۷° C بر روی وکتور، فرآورده حاصله در ژل آگاروز حاوی بافر TAE آنالیز گشته و باند مورد نظر با برش از ژل و انجام مراحل مربوط به تلخیص قطعه DNA از ژل، به صورت خالص به دست آمد. برای انجام مراحل مربوط به تعیین توالی باند هدف، PCR مجدد با استفاده از پلاسمید M13 و پرایمرهای MBR و MBF (Amersham Pharmacia. uk) در ترموسایکلر و با شرایط ۹۶° C به مدت چهار دقیقه برای یک سیکل، ۹۶° C به مدت ۳۰ ثانیه، ۵۰° C به مدت ۱۵ ثانیه، ۶۰° C به مدت چهار دقیقه برای ۲۵ سیکل انجام گردید و تعیین توالی نوکلئوتیدها در فرآورده نهایی PCR با استفاده از تکنیک ABI اتوماتیک انجام شد و توالی قطعه‌ای از ژن *plb₂*

DNA در ddH₂O و افزودن RNAase A، ماده ژنتیکی حاصله برای مصارف آتی در ۲۰° C - نگه‌داری گردید. به عنوان نمونه شاهد مثبت، DNA ژنومی کاندیدا آلیکانس *C. albicans* نیز به روش فوق تهیه و ذخیره گردید. لازم به ذکر است که نمونه بالینی مورد استفاده با شماره ۹۰۲۵۴ در American type culture collection (ATCC) ثبت و ذخیره شده است.

- دژنراتیو PCR. با استفاده از توالی‌های نوکلئوتیدی محفوظ برای ژن *plb* در ژنوم کاندیدا آلیکانس (*C. albicans*)، کریپتوکوکوس ثوفورمنس (*C. neoformanse*)، ساکارومایسس سرویسسه (*Saccharomyces cereviciae*) و پنسیلیوم کرایزوژنوم (*Penicillium chrysogenum*)، پرایمرهای DBP و DBF برای تکثیر یک قطعه تخمینی به طول ۵۵۰ bp طراحی شد. تکثیر قطعه مورد نظر با تکنیک PCR دژنراتیو از DNA ژنومی در میکروارگانسیم هدف و شاهد در ترموسایکلر با شرایط ۳ دقیقه در ۹۴° C برای یک سیکل، یک دقیقه در ۹۴° C، یک دقیقه در ۴۸° C و ۹۰ ثانیه در ۷۲° C برای ۲۹ سیکل و در نهایت یک دقیقه در ۹۴° C، یک دقیقه در ۴۸° C و هفت دقیقه در ۷۲° C برای یک سیکل با موفقیت انجام گردید و فرآورده PCR در ژل آگارز الکتروفورز تهیه شده با بافر TBE و با استفاده از اتیدیوم بروماید (Ethidium bromide) رنگ‌آمیزی و آنالیز شده و از باند حاصله تصویر تهیه گردید. پرایمرهای مورد استفاده برای PCR دژنراتیو عبارت بودند از:

Forward primer:

5' GAY GGI GGI GAR GAY AAY CAR AA 3'

Reverse primer:

5' AYI GTI CCR TTC CAR CAR TA 3'

(Y=CT, R=AG, I=Inosin)

- کمی‌سنجی DNA. کمی‌سنجی DNA ژنومی

استخراج شده از آسیرژیلوس فومیگاتوس *A. fumigatus* و شاهد مثبت با استفاده از دو تکنیک [۱- مقایسه غلظت DNA رنگ‌آمیزی شده با اتیدیوم بروماید در ژل الکتروفورز با

پرایمرهای MBR و MBF مورد استفاده برای پلاسمید

آسپرژیلوس فومیگاتوس *A. fumigatus* به طول ۵۴۲ bp

M13 عبارت بودند از:

به دست آمد (شکل ۱).

Forward primer:

5' GTT TTC CCA GTC ACG ACG TTG TA 3'

Reverse Primer:

5' TTG TGA GCG GAT AAC AAT TTC 3'

```

1 gatggggggg aggataacca gaacatcccg ctcgatcccc ttcttcagcc ccaacgtcac
61 gttgacgtga ttttggtgtg cgactcgtca gcggacacga ctaccaggtg gcccaatggg
121acatcccctgg tcgccacata cgagcgaaac gtagactcat cacaaaggaa cagtagtctc
181ccctttccgt ctgtgcctga ccaaaacaca ttcgtcaacc tggggttgaa caaccgtccg
241acattctttg gctgcaatag ttcaaacgcg actggcgccc cgcttgctctg ttatattcca
301aacgccccgt atatataccc gtccaatgtg tccacattcg atctgcaata caatactagt
361gagcgcaacg ccatcattga gaatgggtac gatgtggcaa cactgggaaa tgggacagtg
421gactcctaact ggccggcttg tctggcttgc gcgatattga gtcggagttt tgaacgcaca
481aatcagactg tcccaaagac ctgctcgacg tgtttcaaga cgtattgctg gaacggcacc
541gt

```

شکل ۱. توالی قطعه‌ای از ژن *plb2* حاصل از PCR دژنراتیو. کل توالی، ۵۴۲ bp می‌باشد.

۲- استفاده از PCR برگشتی (IPCR)

که علی‌رغم شناسایی چند کلنی بالقوه مثبت از نظر وجود ژن مورد نظر در کلنی‌ها با تکنیک غربال‌گری کلنی، با عنایت به پیشرفت مطلوب‌تر مراحل آزمایشگاهی با استفاده از تکنیک IPCR، این تکنیک به منظور جداسازی و تعیین توالی نوکلئوتیدهای ژن *plb2* مورد استفاده قرار گرفت و برای این منظور DNA ژنومی هضم شده با اندونوکلاز محدودالتر *Xho I* به طول ۲/۲ kb که دربردارنده طولی نامشخص از ژن *plb2* بود، انتخاب و برای مراحل بعدی جستجوی توالی نوکلئوتیدها مورد استفاده قرار گرفت.

قطعه ۲/۲ kb خطی فوق‌الذکر ابتدا تحت تأثیر آنزیم DNA لیگاز T4 (T4 DNA Ligase) به یک قطعه DNA حلقوی تبدیل شده و موفقیت این مرحله از آزمایش، ارزیابی گردید. با طراحی پرایمرهای اختصاصی IB2F و IB2R جهت انجام IPCR، تکثیر DNA حلقوی حاوی طول نامشخص از ژن *plb2* در ترموسیکلر با شرایط ۳ دقیقه در ۹۴°C برای یک سیکل، یک دقیقه در ۹۴°C و سه دقیقه در ۷۰°C برای ۱۰ سیکل، یک دقیقه در ۹۴°C، یک دقیقه در ۶۵°C، سه دقیقه + پنج ثانیه اضافی به ازای انجام هر سیکل در ۷۰°C برای ۲۴ سیکل، یک دقیقه در ۹۴°C، یک دقیقه در ۶۵°C و هفت دقیقه در ۷۰°C یک

ساترن پلاتینگ. به منظور تأیید وجود ژن *PLB2*

در آسپرژیلوس فومیگاتوس *A. fumigatus* بررسی تعداد کپی ژن در ژنوم و همچنین تخمین اندازه مناسب قطعه ژنومی برای کلونینگ و تعیین توالی در مرحله بعدی، DNA ژنومی با سریالی از اندونوکلازهای محدودالتر شامل *Brf I*، *Apa I*، *Xho I*، *Xba I*، *Sal I*، *Kpn I*، *Bji I* و ساترن پلاتینگ (لکه‌گذاری ساترن) Southern blotting با استفاده از پروب DNA نشان‌دار شده با دیگوکسی‌جینین (DIG) Digoxigenin انجام و قطعات DNA حاوی تمام یا قسمتی از ژن *plb2* به ترتیب به طول‌های تخمینی ۹/۶ kb، ۱۱/۲kb، ۶/۸ kb، ۱۰/۸ kb، ۳ kb، ۵/۷ kb و ۲/۲ kb در شرایط بحرانی شناسایی گردید. با توجه به نتایج ساترن پلاتینگ، فقط وجود یک نسخه از ژن *plb2* در ژنوم آسپرژیلوس فومیگاتوس *A. fumigatus* شناسایی شد.

کلونینگ و توالی‌یابی ثانویه. برای کلونینگ و

توالی‌یابی طول بیش‌تری از ژن *plb2*، دو تکنیک پایه ذیل مورد استفاده قرار گرفت:

۱- غربال‌گری گنجینه ژنی دارای اندازه محدود Size limited library screening یا غربال‌گری کلنی Colony screening

توالی نوکلئوتیدی ژن *plb₂* در آسپرژیلوس فومیگاتوس
A. fumigatus می‌باشد. توالی نوکلئوتید ژن *plb₂*
آسپرژیلوس فومیگاتوس *A. fumigatus* همسانی بسیار
بالایی با توالی نوکلئوتیدهای ژن مشابه را در سایر
میکروارگانسیم‌ها نشان می‌دهد. جستجوی بانک‌های
اطلاعاتی ژنوم در وب Web با استفاده از نرم افزار کامپیوتری
بیوانفورماتیکی BLASTX به آدرس‌های
<http://www.ncbi.nlm.nih.gov/>
و <http://blast.genome.ad.jp/> همسانی ژن *plb₂*
آسپرژیلوس فومیگاتوس *A. fumigatus* با ژن
لیزوفسولیپاز *lpl1* آسپرژیلوس اوریزه *A. oryzae* به
میزان حداکثر ۶۲٪ و با ژن فسفولیپاز *plb B* کریبتوکوکوس
C. neoformans به میزان حداقل ۳۹٪ و مقادیر
مابین این دو را برای سایر میکروارگانسیم‌ها در سطح اسید
نوکلئیک نشان می‌دهد (جدول ۱ و شکل ۳)

سیکل انجام شد. پرایمرهای مورد استفاده برای PCR برگشتی
(IPCR) عبارت بودند از:

Forward primer:
5' CTG GTA GTC GTG TCC GCT GAC GAG
TCG AC 3'

Reverse primer:
5' TGA GAA TGG GTA CGA TGT GGC AAC
ACT GGG 3'

توالی نوکلئوتیدها در فرآورده حاصل از IPCR با انجام
مجدد موفقیت‌آمیز مراحل مشروحه در قسمت کلونینگ و
توالی‌یابی اولیه، شناسایی شد؛ که شامل قطعه‌ای از ژن *plb₂*
آسپرژیلوس فومیگاتوس *A. fumigatus* به طول ۱۱۷۵bp
بود.

نتایج

از تلفیق توالی ۱۱۷۵ bp حاصل از IPCR با توالی قطعه
ژن حاصل از PCR اولیه (۵۴۲ bp)، سکوانسی به طول
۱۵۲۹bp حاصل شد (شکل ۲)، که در بردارنده قسمتی از

جدول ۱. درصد تطابق توالی ژن *plb₂* آسپرژیلوس فومیگاتوس *A. fumigatus* با توالی ژن‌های *plb* منتشر شده قارچ‌ها

Species	Classification	% Identity with partial <i>plb₂</i>
Aspergillus oryzae LPL1 AX112082.1	Ascomycota	%۶۲
Aspergillus oryzae LPL2 AX112084.1	Ascomycota	%۵۹
Aspergillus niger LPL1 AX112078.1	Ascomycota	%۶۰
Aspergillus niger LPL2 AX112080.1	Ascomycota	%۵۹
Penicillium chrysogenum LPL P39457	Ascomycete	%۶۰
Neurospora crassa LPL AF045574	Ascomycete	%۵۱
Torulaspora delbrueckii LPL Q11121	Ascomycete	%۴۸
Kluyveromyces lactis PLB AB014495	Ascomycete	%۴۶
Saccharomyces cerevisiae PLB1 S533037	Ascomycete	%۴۴
Saccharomyces cerevisiae PLB2 S53035	Ascomycete	%۴۴
Candida albicans PLB1 BAA36162	Ascomycete	%۴۳
Candida albicans PLB2 AAC72296	Ascomycete	%۴۱
Cryptococcus neoformans PLB AAF61964.1	Basidiomycete	%۳۹

قطعه توالی یابی شده به طول ۱۵۲۹ bp، دربردارنده قسمتی از توالی نوکلئوتیدی ژن *plb2* آ. فومیگاتوس *A. fumigatus* از انتهای

ژن *plb2* می باشد.

1 GATGGGGGGGAGGATAACCAGAACATCCCCTCGATCCCCTTCTTCAGCCCCAACGTAC
 61 GTTGACGTGATTTTGGCTGTGCGACTCGTCAGCGGACACGACTACCAGGTGGCCCAATGGG
 121 ACATCCCTGGTCGCCACATACGAGCGAAACGTAGACTCATCACAAAGGAACAGTAGTCTC
 181 CCCTTTCCGTCTGTGCCTGACCAAAACACATTTCGTCAACCTGGGGTTGAACAACCGTCCG
 241 ACATTTCTTGGCTGCAATAGTTCAAACGCGACTGGCGCCCCGCTTGTCTGTTTATATTCCA
 301 AACGCCCCGTATATATACCCGTCATGTGTCCACATTCGATCTGCAATACAATACTAGT
 361 GAGCGCAAGCCATCATTGAGAATGGGTACGATGTGGCAACACTGGGAAATGGGACAGTG
 421 GACTCTAACTGGCCGGCTTGTCTGGCTTGCCTGATATTGAGTCGGAGTTTGAACGCACA
 481 AATACGACTGTCCCAAAGACCTGCTCGACGTGTTTCAAGACGTACTGTTGGAATGGGTACC
 541 ATAAATGCAACGACTCCCGGGGATTATTATCCGACGCTGAAGCTGCACTAGGTGCGGAGA
 601 TGACAGTAGGACAGTGGACCTGGGGCACAGGAAATCGCAATAGTTTGTCAATGTTTGTAT
 661 TGATGAGTTCCGCGTTTTTACTGAAAATGAATGCTGAGAATGGTTATTCTGCGCCAGTAA
 721 GTGGACAAAGAGGAATATGTGGTACGTTGACTGTCCCGAATTGTGTGGACTTGATATGAC
 781 ACCGTCGGTGATGATATCTTGGGTCCTTGGTCTTTGACGGGACGATTGATACTGGTG
 841 AGGGCATTGAAATTCACGCACCTGCTTACTTGCATATGGAAACGAGGGTAACGCTACAGA
 901 TTATCATGCGGGTGTAAATTGGTTATATAGTTTCCACAAATTAAGCTACATATAGCGGTCCC
 961 TCTCAGATACAGCTCTGCGGCTATACTCCTTACCAGCACCTATTTTTTCTTAGATTGTG
 1021 TCTTCTCCTTACGCAGGGTCAAATAGTCACCAACAGACCCATCACCAGGGATAAACTCCC
 1081 ACTTAACCTCCTTCTCAGTACAGTAAAGCTTACTGATACCAAAGTGCCTGGTGTCCA
 1141 GCAAAGCAGTGATATCTGGAGGCCCTGGCCCTTGCCGAACCTACTGTGGCTCTCAATGT
 1201 TACCAGCCATCCGTTGATGATGTGGGTGATGGATTGCCCCGGTGGTGGCGTAGGTGT
 1261 GATTGTTGACAATCGACGCCGAATCGATGGTCCCGTTGGCCGCCAGGGGATACAGGCGCT
 1321 CGTACCAGTGGATGACATGCATAGTATCTGCGTTCCCGGCGAAGGAAACATGCA
 1381 CCATACCCAGAGAGATAAGCATAACACCGAACGTCAGGAACAATCGCTCGAACGCAGCA
 1441 CGGAGGTTCTTCTGGTAGCTCGAGTACGCGGAGCTGTACATGGGCCGGTGGCTCATGACA
 1501 AACACCCAGGGGTCTTCTTGGCGTTCGAC

شکل ۲. توالی قطعه‌ای از ژن *plb2* بعد از تلفیق قطعه حاصل از PCR دژنراتیو و قطعه حاصل از IPCR انجام شده بر روی فرآورده ناشی از اثر *Xho I* بر DNA ژنومی. توالی فوق از تلفیق دو قطعه با استفاده از نرم افزار کامپیوتری CAP به دست آمده است. کل توالی ۱۵۲۹ bp می باشد.

<i>A. fumigatus PLB1</i>	1	-----LEYLGTKEFNGGSVPSNESCVRGFDNVGFVM
<i>C. albicans PLB1</i>	260	LNSTVIELTPYEFGSWDP-----SLNEFVDTRYLGTKLDNRPRTG--KCYNGFDNAGFFM
<i>C. albicans PLB2</i>	258	FNSTVFEITPYEVGSWDP-----SLRSFVDTKYIGTRLDGAPVSK--RCVNGFDNAGFFM
<i>A. oryzae LLPL2</i>	296	SNATVYEFNPWFEGTFDP-----TVYGFVPLEYVGSKFDGGSIPDNETCVRGFDNAGFFM
<i>P. chrysogenum PLB</i>	238	SNSTVYEFN WEFGTFFD-----TIFGFVPLEYLGSKFE GSLPSNESC RGFDSAGFV
<i>A. niger LLPL1</i>	293	SNSTVYEFNPWFEGSFD-----SIFGFAPLEYLGSYFENGVEPSSRSCVRFNAGFFM
<i>A. niger LLPL2</i>	295	TNATVYEVNPWFEGSFD-----SVYAFAPLQYLGSRFENGSI PDNGTCVGFNAGFFM
<i>A. oryzae LLPL1</i>	280	SNSTVYEFNPWFEGSFD-----SVYGFAPLEYLGSNPFENGELPKGESCVRGFDNAGFFM
<i>N. crassa LPL</i>	270	LNATNYEFNPFETGSWDP-----TVYGFAPTKYLGANF SNGVIPS GGKCVGELDQAGFFM
<i>C. neoformans PLB</i>	268	ENATVWFEITPYEFGSWAFGSPQYKSPGAFPTPIEYLGTSVDDGSPNG--TCWKGFQDLSFVM
consensus	301*.....*.....*.....*.....*.....*.....*
<i>A. fumigatus PLB1</i>	31	GTSSTLNFQFLQLINSTALPDWLKSVFTDILKDIGEN--DEDIAQYAPNPFYHFSNTTNP
<i>C. albicans PLB1</i>	313	GTSSALENEAVLSITEANIPSLKDIIDILVDPIK--SNIDVSAYNPNPFKSSGSNTA
<i>C. albicans PLB2</i>	312	GTSSSLFNIVLQQLNNMPIPPFLKELISKFTLDPVEK--LNIDIAQYNPNPFHKSNSSDTK
<i>A. oryzae LLPL2</i>	351	GTSSSLFNQFLLQVNSTSLPDLKTAFSDI LAKIGEE--DEDIAVYAPNPFYNWAPVSSP
<i>P. chrysogenum PLB</i>	288	GTSSSLFNQ LLQINTTSL SFIKDVENG LFDLDRS--NDIASYDPN FYKYNEHSS
<i>A. niger LLPL1</i>	348	GTSSSLFNQFILKLNTPDIPSTLKTVIASILELGDGDR--NDDIAIYSPNPFYGYRNATVS
<i>A. niger LLPL2</i>	350	GSSSTLNFQFLQLINSTSIPTILKDAFTDILEDLGER--NDDIAVYSPNPFSGYRDSSED
<i>A. oryzae LLPL1</i>	335	GTSSSLFNQFILRLNGTDIPNPLKEAIAADVLEHLGEN--DEDIAVYAPNPFYKRNSTAA
<i>N. crassa LPL</i>	325	GTSSTLNFQFLLANISSYDGVARRAHRSRDFCQPNRRQEDDVSQIIPNPFELDWNRTNP
<i>C. neoformans PLB</i>	326	GTSATLNFNGAFLELNGTDSG--LLTNLITAFIADLGED--QADISRIP--NSFSNYSNGENP
consensus	361	*.....*.....*.....*.....*.....*.....*.....*
<i>A. fumigatus PLB1</i>	89	SAAELELDLVDGGEDLQNIPLHPLIQPERHVDVIFAVDSSADTTYSWPNGTALVATYERS
<i>C. albicans PLB1</i>	372	ISQSNLYLVDGGEDGQNIPTISPLH--RNVSAIFAFDNSNDVLN--WPDGTSLVKTYERQ
<i>C. albicans PLB2</i>	371	IAQSRTLYLADGGEDGQNVPLPLH--RKVSAIFAFDQSDAKNN--WPDGSAIKITFERQ
<i>A. oryzae LLPL2</i>	409	AAHQQLDMDVGGEDLQNIPLHPLIQPERHVDVIFAVDSSADTTYSWPNGTALVATYERS
<i>P. chrysogenum PLB</i>	340	YAAQKLLD VDDGGEDQNV LHPLIQPER VDVIFAVD SADTDYFWPN TSLVATYER
<i>A. niger LLPL1</i>	406	YEKTPDLNVVDGGEDQNLPLHPLIQPARNVVDVIFAVDSSASTSDNWPNGSPLVATYERS
<i>A. niger LLPL2</i>	408	YATAKDLVDVVDGGEDGENIPLHPLIQPERAVDVIFAVDSSADTDYWPNGTSLVATYERS
<i>A. oryzae LLPL1</i>	393	YSSTPELDVVDGGEDGQNVPLHPLIQPTHNVVDVIFAVDSSADTDHWPNGSSLIYTYERS
<i>N. crassa LPL</i>	385	NADTLELDLVDGGEDLQNIPLNPLTQPVRAVDVIFAVDSSADVTN--WPNGTALRATYERT
<i>C. neoformans PLB</i>	382	IYNLTYITLVDAGETNQNIPLEPLLVPTRDVDAI VAFDSSDYIWPNGTALRATYERA
consensus	421*.....*.....*.....*.....*.....*.....*

<i>A. fumigatus</i> PLB1	149	LNSSG-IANGTSFPAIPDQNTFVNKGLNTRPTFFGCGNNSNTTGPS-----PLIVYLPNY
<i>C. albicans</i> PLB1	429	FSSQ---GNGIAFPYVPDQYTFRNLNLTSKPTFFGCDAKNLTSLTNDIYDVPVVIYLANR
<i>C. albicans</i> PLB2	428	FSSQ---GDGIAFPYVPDQNTFRNTNLTSKPTFFGCDQANLTSLETENIYDVPVVIYLANR
<i>A. oryzae</i> LLPL2	469	LNSTG-IANGTSFPAIPDQNTFVNKGLNTRPTFFGCGNSTNTTGPT-----PLVVYLPNY
<i>P. chrysogenum</i> PLB	394	LNSSG-IAN TAFPAVPDQ TFINLGLST PSFFGCDSS QTGPS-----PLVVYLPN
<i>A. niger</i> LLPL1	466	LNSTG-IGNGTAFPSIPDKSTFINLGLNTRPTFFGCGNNSNTTGH-----PLVVYLPNY
<i>A. niger</i> LLPL2	468	LEPS--IANGTAFPAVPDQNTFVNKGLNTRPTFFGCDPKNISGTA-----PLVIYLPNS
<i>A. oryzae</i> LLPL1	453	LNTTG-IANGTSFPAIPDQNTFVNKGLNTRPTFFGCGNNSNTTSTPT-----PLIVYLPNA
<i>N. crassa</i> LPL	444	FGSI---SNGTLFPSIPDDWTFINLGLNTRPTFFGCDVKNFTLNAN-QKVPPLIVYVPNA
<i>C. neoformans</i> PLB	442	KILAEHENTRVLMEVPSMNGFVNGGYNSRPTFFGCGN-----DTT-----PVIIYIPSY
consensus	481 * * * * *
<i>A. fumigatus</i> PLB1	202	PYTAYSNFSTFPQDYTEQERDSTILNGYDVVTMGNSTRD--GNWSTCVGCALSRSLERT
<i>C. albicans</i> PLB1	486	PFTYWSNTSTFKLTYDDNERQGMISNGFEIATRSGSLD--DEWAACVGCALIRREQERQ
<i>C. albicans</i> PLB2	485	PFTYFSNISTFKLKYSDTERQGMISNGYDVASRLNGKLD--NEWAACVGCALIRREQERL
<i>A. oryzae</i> LLPL2	522	PVVSYSNWSTFPQSYEISERDDTIRNGYDVVTMGNSTRD--GNWTTCVGCALSRSFERT
<i>P. chrysogenum</i> PLB	42	PYSYHSNIS FQLSTDDAE DNIILNGYE ATMANSTLD -DNWTACVA ALLSRSFER
<i>A. niger</i> LLPL1	519	PYTTLNKNSTFKLKYELLERDEMITNGWNVVTMGNSTRKSYEDWPTCAGCALSRSFERT
<i>A. niger</i> LLPL2	520	PYTYSNFSTFKLKYSDTERDQSVITNGWNVVTRGNGTVD--DNFPSCVACALQLALHYRT
<i>A. oryzae</i> LLPL1	506	PYTAESNTSTFKLKYSDTERDQSVITNGWNVVTRGNGTVD--ANWPCVGCALQSRSTERT
<i>N. crassa</i> LPL	500	PYTALSNVSTFDPSTMSQRNDIIGNWNSATQGNGLDS--EWPTCVACAVISRSRLDRL
<i>C. neoformans</i> PLB	492	PWSFAANTSTYQLSYENNEANEMLLNGMRSLLNHSVPT----WPTCFACALDRSFMVY
consensus	541	* * * * * *
<i>A. fumigatus</i> PLB1	260	NTNVPEICKQCFQRYCWNVTNSTTPAGYEPVTILDS--AASGIIPSI STVAMAVVFAAW
<i>C. albicans</i> PLB1	544	GIEQTEQCKRCFENYCWDTIYKGEPLGENFSDGLTNSATEYNSNNVAGFNDGGTSILK
<i>C. albicans</i> PLB2	543	GIEQTEQCKKCFENYCWDTIYKGEPLGDNFSDGLTNSAAYNSNNVAGINDGGIALVK
<i>A. oryzae</i> LLPL2	580	NTQVPDACTQCFQKYCWDTTNTNPNADYEPVTLLEDS-AGSALSPAVITTVATSALF
<i>P. chrysogenum</i> PLB	495	GTTLPDICS CDRYCWNG VNSTRPEY PAFYLADNS ASVSLPTML TVVAAGLAM
<i>A. niger</i> LLPL1	579	NTQVPDMCSQCFQKYCWDTTRNSTTPAAYEPKVLMSAGVIRGISMSRLVGLFPVVVGVW
<i>A. niger</i> LLPL2	578	NTSLPDICTTCFNDYCWNGTNTNTPGAYEPSVLIATSGAIKSVLDYSVLALAMGVAAFM
<i>A. oryzae</i> LLPL1	564	NTKLPDICTTCFNDYCWNGTNTNTPGAYEPSVLIATSGAIKSVLDYSVLALAMGVAAFM
<i>N. crassa</i> LPL	558	GRQTPAACKTCFERYCWNGTNSKDTGVYMPFKIADAHALDSGAVAI GKMVNVWSSVVV
<i>C. neoformans</i> PLB	548	SENSTTCQECFDTWCWAGDDNTTEPANYPVINSVPPWLIANNLSIGMADAPGSNESTA
consensus	601 * * * * *
<i>A. fumigatus</i> PLB1	318	TIF-----
<i>C. albicans</i> PLB1	604	KA-----
<i>C. albicans</i> PLB2	603	RDDLNS-----
<i>A. oryzae</i> LLPL2	639	TLL-----
<i>P. chrysogenum</i> PLB	549	ILV-----
<i>A. niger</i> LLPL1	639	MM-----
<i>A. niger</i> LLPL2	638	L-----
<i>A. oryzae</i> LLPL1	624	FMTI-----
<i>N. crassa</i> LPL	618	GVVAATLL-----
<i>C. neoformans</i> PLB	608	GTASSGAAKMGVGMGMVALTAGLGLML
consensus	661

شکل ۳. مقایسه همسانی قطعه‌ای از ژن *plb2* آ. فومیگاتوس با *plb1* و *plb2* و *lpl* منتشر شده سایر قارچ‌ها در سطح اسید آمینه با استفاده از نرم‌افزار کامپیوتری بیوانفورماتیکی به آدرس‌های اینترنتی:

<http://dot.imgen.bcm.tmc.edu:9331/multi-align/multi-align.html> و http://www.ch.embnet.org/software/BOX_form.html

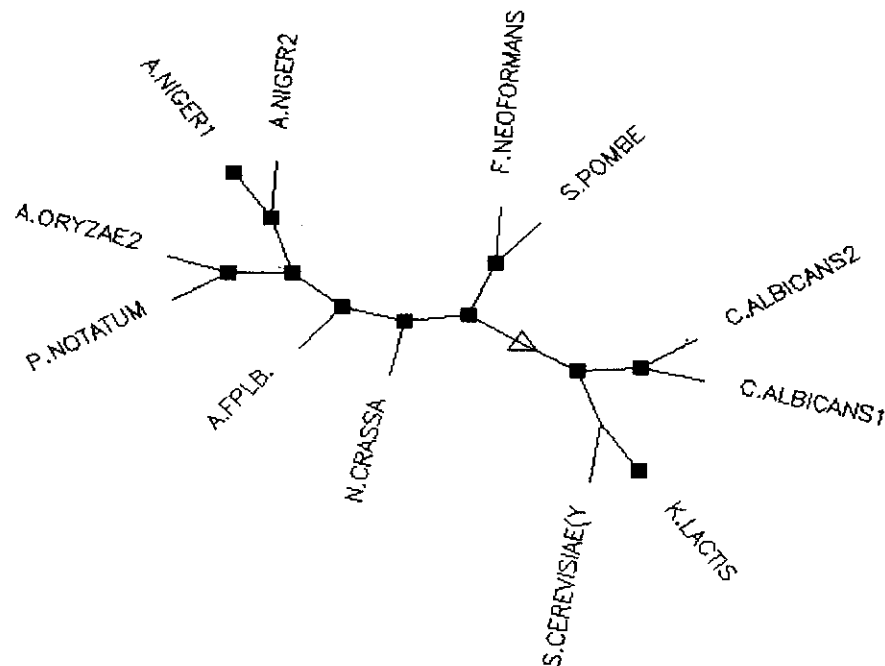
مقایسه همسانی مابین توالی نوکلئوتیدهای بخشی از ژن *plb2* اسپریژیلوس فومیگاتوس (*A. fumigatus*) با ژن مشابه در سایر میکروارگانیسم‌ها، نشانه همسانی بسیار بالای توالی اسیدهای نوکلئیک این ژن با ژن *plb* و هم‌چنین ژن لیزوفسولیاز در میکروارگانیسم‌هایی است که توالی ژنتیکی این ژن‌ها در آن میکروارگانیسم‌ها شناسایی شده است. مطابق استانداردهای محافل علمی و بانک‌های اطلاعات ژنومی، همسانی توالی اسیدهای نوکلئیک مابین دو ژن در حد ۲۵٪، مشابهت زیاد High identity و نشانه قرابت فیلوژنیک،

بحث و نتیجه گیری

تلفیق توالی قطعه ۵۴۲ bp حاصل از PCR اولیه با قطعه ۱۱۷۵ bp حاصل از IPCR با شناسایی و مشخص نمودن توالی نوکلئوتیدهای ویژه آندونوکلتاز محدودالاتر *Xho I* برای‌های مربوط به PCR دژنراتیو و IPCR در توالی هر دو قطعه، توجه به جهت 3' → 5' توالی‌های هر دو مرحله و درنهایت حذف ردیف‌های تکراری از نوکلئوتیدها مقدور گردید و در نتیجه از جمع جبری ۱۷۱۷ bp نوکلئوتید حاصل از دو مرحله، ۱۵۲۹ bp باقی‌ماند و ۱۸۸ bp حذف شد.

می‌تواند نشان‌دهنده افت میزان هم‌سانی توالی ژن *plb2* آسپرژیلوس فومیگاتوس (*A. fumigatus*) با میکروارگانسیم‌هایی باشد که قرابت فیلوژنیک آن‌ها با آسپرژیلوس فومیگاتوس (*A. fumigatus*) به تدریج کم‌تر می‌گردد، به‌نحوی که LPL قارچ‌های کپکی پنسیلیوم نوتاتوم (*Penicillium notatum*)، آ. اوریزه (*A. oryzae*)، آ. نیجر (*A. niger*) و نوروپورا کراسا (*N. crassa*) با توجه به تعلق آن‌ها به آسکوسیت‌ها (همانند آسپرژیلوس‌ها) و قرار گرفتن در راسته Order ترایکوکوماسه (*Trichocomaceae*) در مرحله تولیدمثل جنسی (همانند آ. فومیگاتوس) تشابه بیش‌تری را (۵۱٪-۶۲٪) با ژن *PLB2* آسپرژیلوس فومیگاتوس نشان می‌دهد، درحالی که *PLB* قارچ‌های مخمیری و شبه‌مخمیری مانند *ک. تئوفرمنس*، *ک. آلبیکانس*، *ش. پومبه*، *س. سروسیسه* و *ک. لاکتیس* به علت قرار گرفتن این قارچ در مرحله تولیدمثل جنسی در راسته‌ای دیگر، تشابه کم‌تری (۳۹٪-۴۳٪) را با توالی ژن *plb2* آسپرژیلوس فومیگاتوس (*A. fumigatus*) نشان می‌دهد و درنهایت انعکاس این هم‌سانی بسیار بالا در تطبیق توالی این ژن‌ها با هم‌دیگر در سطح اسیدآمینه آشکار می‌گردد، که نواحی محفوظ متعدد و طولانی را مابین این ژن‌ها در سطح اسیدآمینه در شکل سه نشان می‌دهد. در این‌جا ذکر این نکته لازم است که لیزوفسولپلیازها LPL و فسولپلیازهای *PLB B* دارای فعالیت آنزیماتیک مشابهی بوده و در تقسیم‌بندی درونی انواع فسولپلیازها به دو گروه آسلیل هیدرولازها (*Acyl-hydrolases*) و فسفودی‌استرازها (*Phosphodiesterases*) هر دو آنزیم فوق‌الذکر در گروه اول قرار می‌گیرند.

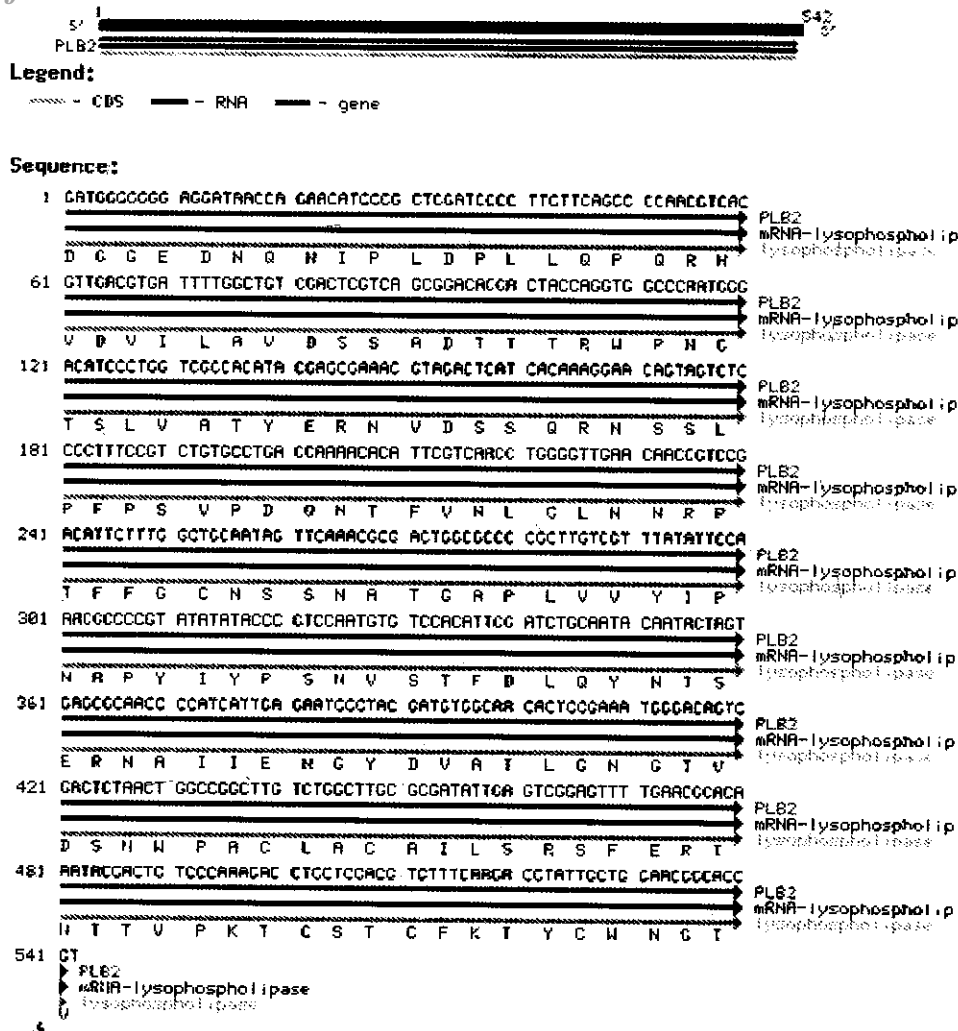
قلمداد می‌شود و بدین جهت هم‌سانی حداکثر ۶۲٪ بخشی از ژن *plb2* آسپرژیلوس فومیگاتوس (*A. fumigatus*) با ژن LPL1 آسپرژیلوس اوریزه *A. oryzae* نشان‌دهنده قرابت فیلوژنیک بسیار زیاد مابین این دو میکروارگانسیم در میراث ژنومی و انتقال کاملاً محافظه‌کارانه گنجینه ژنی در طول مسیر تکاملی موجودات زنده در بین گونه‌های مختلف جنس آسپرژیلوس *Aspergillus SP.* می‌باشد؛ هم‌چنان‌که حداقل هم‌سانی ۳۹٪ مابین ژن *PLB* قارچ مخمیری کریتوکوکوس تئوفرمنس *C. neoformans* نیز از استاندارد تشابه ۲۵٪ بسیار زیادتر بوده و می‌تواند نشان‌دهنده این امر باشد که در مسیر تکاملی سلسله قارچ‌ها، انتقال میراث ژنی به‌نحو بسیار محافظه‌کارانه‌ای در مورد ژن‌های دارای نقش اساسی در ساختار حیاتی و ژنتیکی این میکروارگانسیم‌ها، انجام گرفته است زیرا جنس آسپرژیلوس (*Aspergillus SP.*) و گونه‌های مختلف آن به شاخه *Phylum* یا *Division* اسکومیکوتا (*Ascomycota*) و رده (*Class*) اسکومیست‌ها (*Ascomycetes*)، ولی جنس فیلوبازیدیلا (*Phylobasidiella*) یا *Division* بازیدیومایکوتا (*Basidiomycota*) و رده بازیدیومیست‌ها (*Basidiomycetes*) تعلق دارند که از نظر تکاملی از اسکومیکوتاها (*Ascomycota*) تکامل یافته‌تر بوده ولی علی‌رغم وجود فاصله تکاملی مابین این دو شاخه از میکروارگانسیم‌های سلسله *Kingdom* قارچی، هم‌سانی توالی نوکلئوتیدهای ژن‌های *plb2* در آن‌ها در حدی بسیار بالاتر از حداقل استاندارد، تشابه زیاد (*High identity*)، مشاهده می‌شود. هم‌چنین توجه به توازن سیر نزولی درصد هم‌سانی توالی ژن‌های *plb* و *lpl* میکروارگانسیم‌های مختلف با ژن *plb2* آسپرژیلوس فومیگاتوس (*A. fumigatus*) در جدول ۱



شکل ۴. شجره‌نامه فیلوژنیک قطعه ژن *plb₂* شجره‌نامه فیلوژنیک فوق با نرم‌افزار کامپیوتری بیوانفورماتیکی، به آدرس اینترنتی <http://prodes.toulouse.inra.fr/multalin/multalin.html> ترسیم شده است. این شجره‌نامه نشان‌دهنده کثرت خوشه آنزیم‌های PLB₂ بوده و قرابت فیلوژنیک بیش‌تر آ. فومیگاتوس با نوروسپورا کراسا (*N. crassa*) را در مقایسه با سایر قارچ‌ها نمایان می‌سازد.

PCR، همراه با مشکلات مربوط به تکثیر قطعه‌ای طویل از DNA، استفاده از این تکنیک به عنوان روش مرسوم را مقدور نمی‌سازد؛ ولی در این پژوهش با حل تمام این مشکلات، در نهایت موفقیت تکثیر و تعیین توالی قطعه‌ای به طول ۱۱۷۵ bp از ژنوم اسپرژیلوس فومیگاتوس (*A. fumigatus*)، به دست آمد که با تلفیق توالی قطعه ۵۴۲ bp حاصل از PCR اولیه با قطعه ۱۱۷۵bp حاصل از IPCR با شناسایی و مشخص نمودن توالی نوکلئوتیدهای ویژه آندونوکلاز محدودالانتر *Xho* I پرایمرهای مربوط به PCR دژنراتیو و IPCR در توالی هر دو قطعه، توجه به جهت ۳' → 5' توالی‌های هر دو مرحله و در نهایت حذف ردیف‌های تکراری از نوکلئوتیدها از جمع جبری ۱۷۱۷ bp، دو توالی نوکلئوتیدی حاصل از PCR اولیه و IPCR ثانویه، ۱۵۲۹ bp باقی‌مانده و ۱۸۸ bp حذف گردید.

در این بررسی در مراحل نهایی جستجوی طول بیش‌تری از توالی ژن *plb₂* دو تکنیک غربال‌گری گنجینه ژنی دارای اندازه محدود (Size limited library screening) یا غربال‌گری کلنی (Colony screening) و PCR برگشتی (IPCR) مورد استفاده قرار گرفتند. تکنیک اول در واقع روش استاندارد و متداول برای جداسازی ژن کامل و یا طول بیش‌تری از توالی ژن در مراحل بعد از PCR اولیه می‌باشد و استفاده از PCR برگشتی (IPCR) به علت حساسیت‌ها و ظرافت‌های لازم، روشی مرسوم محسوب نمی‌شود و به‌ویژه تبدیل قطعات DNA خطی حاصل از هضم DNA ژنومی میکروارگانیزم به قطعات DNA حلقوی در مرحله اول این تکنیک، نقطه‌ای بحرانی برای مراحل بعدی جستجو می‌باشد، که موفقیت مراحل بعدی، بستگی تام به این تبدیل وضعیت DNA از حالت خطی به حلقوی دارد و علاوه بر این، حساسیت بسیار زیاد این تکنیک به غلظت $MgCl_2$ در مخلوط



شکل ۵. ثبت توالی نوکلئوتیدی قطعه اولیه ژن *plb2* آ. فومیگاتوس (*A. fumigatus*) در بانک ژنی مرکز ملی اطلاعات بیوتکنولوژی ایالات متحده آمریکا

(NCBI)

(*C. albicans*)، انواع اسپریژیلوسها (*Aspergillus SP*)، پاراکوکسیدینوئیدس برازیلیانس (*Paracoccidioido brasiliensis*) [۱۰، ۱۱، ۱۸، ۲۷]، مالاسزیافور فور (*M. furfur*) [۲۳]، انواع کلسترییدیوم (*Clostridium SP*) [۲۹] و آنتامبا هیستولیتیکا (*E. histolitica*) [۹]، پژوهش‌های مقدماتی برای استفاده از این آنزیم‌ها برای طراحی و تهیه دارو [۱۳، ۲۰، ۲۷، ۳۰]، تشخیص آزمایشگاهی عفونت [۱۰، ۱۸] و تهیه واکسن [۳۲] انجام گرفته است و کلونینگ ژن کامل *plb* اسپریژیلوس فومیگاتوس (*A. fumigatus*) و سپس شناسایی کامل توالی نوکلئوتیدی‌های این ژن و در نهایت اشراف بر ساختمان پروتئین حاصل از بیان ژن، گامی اساسی جهت نیل به موارد مذکور خواهد بود.

مطالعات مربوط به تعیین توالی ژن‌هایی که فرآورده‌های نهایی آن‌ها دارای اهمیت اساسی در ویرولانسی میکروارگانسیم‌ها می‌باشند؛ عموماً با هدف تعیین میزان مشارکت محصول حاصل از بیان ژن در بیماری‌زایی میکروارگانسیم، تعیین خصوصیات بیوشیمیایی و عمل‌کرد فیزیولوژیک فرآورده ژن برای خود میکروارگانسیم و بافت مورد تهاجم میزبان و همچنین استنباط اطلاعات بنیادی برای ارائه شیوه مصنوعیت‌بخشی، تهیه واکسن، طراحی دارو و یا تهیه بلوکر برای فرآورده ژن، بهره‌برداری از فرآورده ژن به‌عنوان شاخص آزمایشگاهی تشخیص عفونت و ... انجام می‌گیرد. با توجه به شناسایی اهمیت اساسی فسفولیپازها در ویرولانسی میکروارگانسیم‌هایی نظیر کریپتوکوکوس نشوفرمنس (*C. neoformans*) [۱، ۲، ۲۴]، کاندیدا آلیکسانس

involved in the agonist-induced internalization. *Mol Pharmacol*, 1996 Feb; 49(2): 365-72.

[15] Johansen KA, Ronald EG, Vasil LM. Biochemical and molecular analysis of phospholipase C and phospholipase D activity in mycobacteria. *Infect Immun*, 1996; 64: 3259-3266.

[16] Kaplanski G, Teyssie N, Farnarier C, Kaplanski S, Lissitzky JC, Durand JM, et al. IL-6 and IL-8 production from cultured human endothelial cells stimulated by infection with *Rickettsia conorii* via a cell-associated IL-1 alpha-dependent pathway. *J Clin Invest*, 1995 Dec; 96(6): 2839-44.

[17] Latge JP. *Aspergillus fumigatus* and aspergillosis. *Clin Microbiol Rev*, 1999 Apr; 12(2): 310-50.

[18] Leidich SD, Ibrahim AS, Fu Y, Koul A, Jessup C, Vitullo J, et al. Cloning and disruption of caPLB1, a phospholipase B gene involved in the pathogenicity of *Candida albicans*. *J Biol Chem*, 1998 Oct 2; 273(40): 26078-86.

[19] Meyers DJ, Berk RS. Characterization of phospholipase C from *Pseudomonas aeruginosa* as a potent inflammatory agent. *Infect Immun*, 1990 Mar; 58(3): 659-66.

[20] Odds FC. Antifungal therapy. In: Kibber CC, Mackenzie DWR, Odds FC. Editors. Principle and practice of clinical mycology. 1st ed. England: Johan Wiley and Sons Ltd. 1996. p. 120-25.

[21] Oishi K, Raynor RL, Charp PA, Kuo JF. Regulation of protein kinase C by lysophospholipids. Potential role in signal transduction. *J Biol Chem*, 1988 May 15; 263(14): 6865-71.

[22] Ostroff RM, Vasil AI, Vasil ML. Molecular comparison of a nonhemolytic and a hemolytic phospholipase C from *Pseudomonas aeruginosa*. *J Bacteriol*, 1990; 172: 5915-5923.

[23] Plotkin LI, Mathov I, Squiquera L, Leoni J. Arachidonic acid released from epithelial cells by *Malassezia furfur* phospholipase A(2): a potential pathophysiologic mechanism. *Mycologia*, 1998; 90(2): 163-169.

[24] Raeder U, Broda P. Rapid preparation of DNA from filamentous fungi. *Lett Appl Microbiol*, 1985; 1:17-20.

[25] Serhan CN, Haeggstrom JZ, Leslie CC. Lipid mediator networks in cell signaling: update and impact of cytokines. *FASEB J*, 1996 Aug; 10(10): 1147-58.

[26] Songer JG. Bacterial phospholipases and their role in virulence. *Trends Microbiol*, 1997 Apr; 5(4): 156-61.

[27] Raines MA, Kolesnick RN, Golde DW. Sphingomyelinase and ceramide activate mitogen-activated protein kinase in myeloid HL-60 cells. *J Biol Chem*, 1993 Jul 15; 268(20): 14572-5.

[28] Swenson CE, Perkins WR, Roberts P, Ahmad I, Stevens R, Stevens DA, et al. In vitro and in vivo antifungal activity of amphotericin B lipid complex: are phospholipases important? *Antimicrob Agents Chemother*, 1998 Apr; 42(4): 767-71.

[29] Titball RW. Bacterial phospholipases. *Symp Ser Soc Appl Microbiol*, 1998; 27: 127S-137S.

[30] Titball RW. Bacterial phospholipases C. *Microbiol Rev*, 1993 June; 57(2): 347-366.

[31] Vidotto V, Leone R, Sinicco A, Ito-kuwa S, Criseo G. Comparison of phospholipase production in *Cryptococcus neoformans* isolates from AIDS patients and bird droppings. *Mycopathologia*, 1998; 142(2): 71-6.

[32] Walker TS, Brown JS, Hoover CS, Morgan DA. Endothelial prostaglandin secretion: effects of typhus rickettsiae. *J Infect Dis*, 1990 Nov; 162(5): 1136-44.

[33] Williamson ED, Titball RW. A genetically engineered vaccine against the alpha-toxin of *Clostridium perfringens* protects mice against experimental gas gangrene. *Vaccine*, 1993 Sep; 11(12): 1253-8.

توالی نوکلئوتیدی قطعه اولیه ژن *plb₂* آ. فومیگاتوس با

هدف نشر اطلاعات علمی و دسترسی پژوهشگران به توالی

نوکلئوتیدی مذکور در بانک ژنی مرکز ملی اطلاعات

بیوتکنولوژی ایالات متحده امریکا (NCBI) به ثبت رسیده

است که شکل ۵، تصویر توالی نوکلئوتیدی ثبت شده در سایت

اینترنتی بانک ژنی فوق را نشان می‌دهد.

منابع

[1] Chen SCA, Muller M, Zhou JZ, Wright LC, Sorrell TC. Phospholipase activity in *Cryptococcus neoformans*: a new virulence factor? *J Infect Dis*, 1997; 175: 414-20.

[2] Chen SCA, Wright LC, Santangelo RT, Muller M, Moran VR, Kuchel PW, et al. Identification of extracellular phospholipase B, lysophospholipase, and acyltransferase produced by *Cryptococcus neoformans*. *Infect Immun*, 1997; 65(2): 405-11.

[3] Denning DW, Follansbee SE, Scolaro M, Norris S, Edelstein H, Stevens DA. Pulmonary aspergillosis in the acquired immunodeficiency syndrome. *N Engl J Med*, 1991 Mar 7; 324(10): 654-62.

[4] Denning DW. Early diagnosis of invasive aspergillosis. *Lancet*, 2000 Feb 5; 355(9202): 423-4.

[5] Denning DW. Diagnosis and management of invasive aspergillosis. *Curr Clin Top Infect Dis*, 1996; 16: 277-99.

[6] Denning DW. Epidemiology and pathogenesis of systemic fungal infections in the immunocompromised host. *J Antimicrob Chemother*, 1991; 28: 1-16.

[7] Denning DW. Aflatoxin and human disease. *Adverse Drug React Acute Poisoning Rev*. 1987 Winter; 6(4): 175-209.

[8] Dennis EA, Rhee SG, Billah MM, Hannun YA. Role of phospholipase in generating lipid second messengers in signal transduction. *FASEB J*, 1991 Apr; 5(7): 2068-77.

[9] Eckmann L, Reed SL, Smith JR, Kagnoff MF. *Entamoeba histolytica* trophozoites induce an inflammatory cytokine response by cultured human cells through the paracrine action of cytolytically released interleukin-1 alpha. *J Clin Invest*, 1995 Sep; 96(3): 1269-79.

[10] Ghannoum MA. Potential role of phospholipases in virulence and fungal pathogenesis. *Clin Microbiol Rev*, 2000 Jan; 13(1): 122-43.

[11] Ghannoum MA. Extracellular phospholipases as universal virulence factor in pathogenic fungi. *Nippon Ishinkin Gakkai Zasshi*, 1998; 39(2): 55-9.

[12] Gilmore MS, Cruz-Rodz AL, Leimeister-Wachter M, Kreft J, Goebel W. A *Bacillus cereus* cytolytic determinant, cereolysin AB, which comprises the phospholipase C and sphingomyelinase genes: nucleotide sequence and genetic linkage. *J Bacteriol*, 1989 Feb; 171(2): 744-53.

[13] Hanel H, Kirsch R, Schmidts HL, Kottmann H. New systematically active antimycotics from the beta-blocker category. *Mycoses*, 1995 Jul-Aug; 38(7-8): 251-64.

[14] Hermans E, Octave JN, Maloteaux JM. Interaction of the COOH-terminal domain of the neurotensin receptor with a G protein does not control the phospholipase C activation but is